



CENTRO FEDERAL DE EDUCAÇÃO TECNOLÓGICA DE MINAS GERAIS  
Campus Leopoldina

ENGENHARIA DE CONTROLE E AUTOMAÇÃO

**RELATÓRIO DE ATIVIDADE PRÁTICA 07**  
**Análise de estabilidade de sistemas não lineares através do método da**  
**função descritiva**

Lucas Daniel de Melo Borges  
Lucas Guimarães da Rocha

Prof. Murillo Ferreira dos Santos, D. Eng.

Leopoldina, MG  
09 de abril de 2021

## Resumo

Um sistema composto por um elemento linear genérico e um elemento não-linear do tipo "liga-desliga com histerese" foi simulado a fim de estudar a existência e o comportamento de ciclos limites.

Através do experimento, foi possível levantar as características do ciclo limite apresentado pelo sistema e validar a teoria de análise de estabilidade de sistemas não-lineares.

## 1 Introdução

Matematicamente, elementos não-lineares são elementos que, para um sinal de entrada  $u(t)$ , o sinal de saída  $y(t)$  gerado pelo elemento não obedece ao princípio da superposição. Desta forma, não existem métodos analíticos capazes de apresentar soluções exatas para as equações de sistema que possua estes elementos [?].

O princípio da superposição diz que para uma entrada  $u(t)$  formada pela combinação linear de  $n$  entradas  $u_n(t)$ , a saída  $y(t)$  gerada pode ser representada por uma combinação linear das saídas  $y_n(t)$  geradas individualmente por cada entrada  $u_n(t)$ , como apresentado nas equações 1, 2, 3 e 4.

$$u(t) = \alpha_1 u_1(t) + \dots + \alpha_n u_n(t) \quad (1)$$

$$y(t) = \alpha_1 y_1(t) + \dots + \alpha_n y_n(t) \quad (2)$$

$$u(t) \rightarrow y(t) \quad (3)$$

$$u_n(t) \rightarrow y_n(t) \quad (4)$$

Na prática, as respostas geradas por sistemas que contenham elementos não-lineares não seguem um padrão analítico e calculado. Estes sistemas são capazes de gerar respostas com formatos completamente diferentes para entradas do mesmo tipo, mas com amplitudes diferentes.

### 1.1 Funções descritivas

Na maioria dos casos, para uma entrada  $x(t) = X \sin \omega_0 t$ , a resposta gerada por um elemento não-linear será não-senoidal, porém periódica com frequência igual à entrada. Sendo assim, como supracitado, é possível representar esta saída gerada através de uma Série de Fourier.

Hodiernamente, a maioria dos controladores utilizados possuem as características de um filtro passa-baixa. Um filtro passa-baixa é capaz de atenuar ruídos de sinais, o que, na prática, significa atenuar as componentes harmônicas mais altas em um sinal. Dessa forma, um controlador generalizado atenua as componentes harmônicas da saída gerada por uma não-linearidade, o que torna possível descrever esta através, apenas, de suas componentes constante e fundamental.

Portanto, dada uma entrada  $x(t) = X \sin \omega_0 t$  aplicada a um elemento não-linear, a função descritiva complexa  $N(X)$  deste é dada por:

$$N(X) = \frac{f_0 + f_1}{X} \varphi_1 \quad (5)$$

Onde,  $f_0$  e  $f_1$  são as amplitudes dos termos constante e fundamental, respectivamente, da Série de Fourier que descreve a forma de onda da saída do elemento não-linear.

## 1.2 Estabilidade de sistemas não-lineares

Tomemos como exemplo um sistema composto por um elemento linear  $G(j\omega)$  e um elemento linear descrito por  $N(X)$ . Analisemos, então, o lugar geométrico das raízes (LR) de  $G(j\omega)$  e de  $\frac{-1}{N(X)}$ . Se ambos não se cruzam no plano complexo, o sistema total é estável. Porém, se ambos se cruzam, é dito que este sistema possui um ciclo limite. Outra característica importante de se salientar é a de que um ponto no LR de  $\frac{-1}{N(X)}$ , se circundado pelo LR de  $G(j\omega)$ , tende a aumentar a amplitude de oscilação do sinal de saída. Porém, se este ponto não é circundado pelo LR de  $G(j\omega)$ , a amplitude do sinal de saída tende a decrescer.

Um ciclo limite genérico no ponto  $A$  é caracterizado por uma oscilação estável com amplitude  $X_A$  e frequência  $\omega_A$ . Façamos um exercício simples: um leve aumento no sinal de entrada é aplicado e, se o sentido de crescimento do LR de  $\frac{-1}{N(X)}$  tender a afastar o ponto  $A$  da região circundada pelo LR de  $G(j\omega)$ , a amplitude do sinal cairá, trazendo o ponto novamente até o ciclo limite. Por outro lado, se uma leve diminuição no sinal de entrada é aplicada, o ponto  $A$  adentrará a região circundada pelo LR de  $G(j\omega)$ , o que fará amplitude do sinal aumentar, trazendo novamente o ponto para o ciclo limite. Neste caso, é dito que este ciclo limite converge e, por conta disso, é um ciclo limite estável. Se a mesma análise for realizada, mas o sentido de crescimento do LR de  $\frac{-1}{N(X)}$  for o inverso da primeira análise, em ambos os casos o ponto  $A$  se afastará do ciclo limite, caracterizando um ciclo limite que diverge e, portanto, é instável.

## 2 Objetivo

Realizar a simulação de um sistemas não-linear composto por um elemento linear acoplado a um elemento "liga-desliga com histerese" utilizando o *software* Simulink, observando o comportamento das respostas para os casos de estabilidade/instabilidade e ciclos-limites.

## 3 Desenvolvimento

O experimento relatado parte do sistema não-linear apresentado na figura 1, com o elemento não-linear do tipo "liga-desliga com histerese".

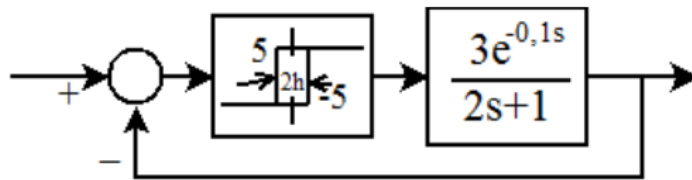


Figura 1: Sistema de controle não linear com elemento liga-desliga e histerese

Considerando o sistema apresentado na figura 1, foi proposto neste estudo os três direcionamentos apresentados abaixo:

1. **Determine a estabilidade/instabilidade do sistema. Se o sistema for instável, determine a estabilidade/instabilidade do ciclo limite.**

Primeiramente foi considerado a função descritiva  $N$  do sistema já previamente calculada na teoria que é apresentada em (6) e a partir desta foi calculado a sua inversa  $-\frac{1}{N}$  cujo o desenvolvimento é apresentado nas equações 7 e 8. Também foi calculado o termo que provoca a defasagem do sinal que é apresentado em (9), esse termo é gerado pela existência da histerese considerando  $h = 0,1$  de acordo com a figura 1.

$$N = \frac{4M}{\pi X} \quad (6)$$

Onde  $M = 5$  conforme apresentado na figura 1, logo, têm-se:

$$N = \frac{20}{\pi X} \quad (7)$$

Portando  $-\frac{1}{N}$  é:

$$N = -\frac{\pi X}{20} \quad (8)$$

$$\Theta = -\arcsin \frac{h}{X} \quad (9)$$

Posteriormente utilizando o *software* MATLAB foi plotado o diagrama de *Nyquist* para a função  $G(jw)$  do sistema e também a inversa da função descritiva, o resultado obtido pode ser observado na figura 2.

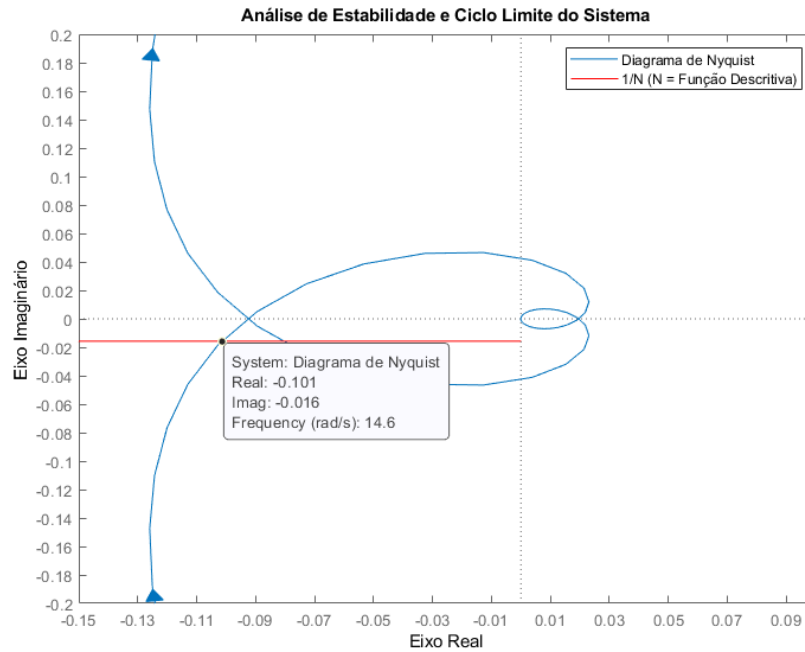


Figura 2: Análise de estabilidade do sistema de controle não linear com elemento liga-desliga mais histerese

Analisando a figura 2 pode-se observar o sistema estudado é instável já que ocorre o cruzamento entre o Lugar Geométrico de  $G(jw)$  determinado pelo diagrama de *Nyquist* e  $-\frac{1}{N}$ , portanto, há um ciclo limite no sistema. O ponto do ciclo limite é destacado na figura 2 o outro ponto de interseção apresentado

na mesma figura é desconsiderado pois a frequência dessa parte da curva é negativa no diagrama de Nyquist, ou seja, esse LG só poder ser encontrado matematicamente pois em sistemas reais não existem sistemas com frequência negativa. Sabendo que as amplitudes do sinal  $-1/N$  destacado em vermelho decrescem tendendo a 0 quanto mais próximo da origem e crescem tendendo a infinito quanto mais distantes da origem pode-se determinar a sua estabilidade fazendo a seguinte análise:

- Dada uma leve perturbação no ponto de operação inicial de forma a aumentar a amplitude do sinal de entrada do elemento não linear, o ponto de operação se move para a esquerda e consequentemente como  $G(jw)$  do traçado de *Nyquist* não circunda essa região, a amplitude diminui e o ponto de operação tende a voltar para o ponto de interseção.
- Dada uma leve perturbação no ponto de operação inicial de forma a diminuir a amplitude do sinal de entrada do elemento não linear, o ponto de operação se move para a direita e consequentemente como  $G(jw)$  circunda essa região, a amplitude aumenta e o ponto de operação tende a voltar para o ponto de interseção.

Portanto, após as duas análises apresentadas acima pode-se concluir que o **ciclo limite é estável**.

**2. Determine a resposta do sistema para uma entrada do tipo impulso unitário (discreto). É verificado o ciclo limite? Qual a amplitude e a frequência do mesmo?**

Primeiramente para obter a resposta do sistema para uma entrada do tipo impulso unitário (discreto) foi construído um diagrama de blocos apresentado na figura 3 que modela o cenário proposto através do *software* Simulink.

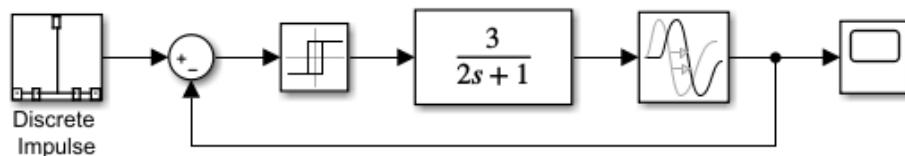


Figura 3: Diagrama de blocos para Simulação do sistema estudado a uma entrada impulso unitário

A resposta obtida através do diagrama apresentado na 3 é apresentada na figura 4.

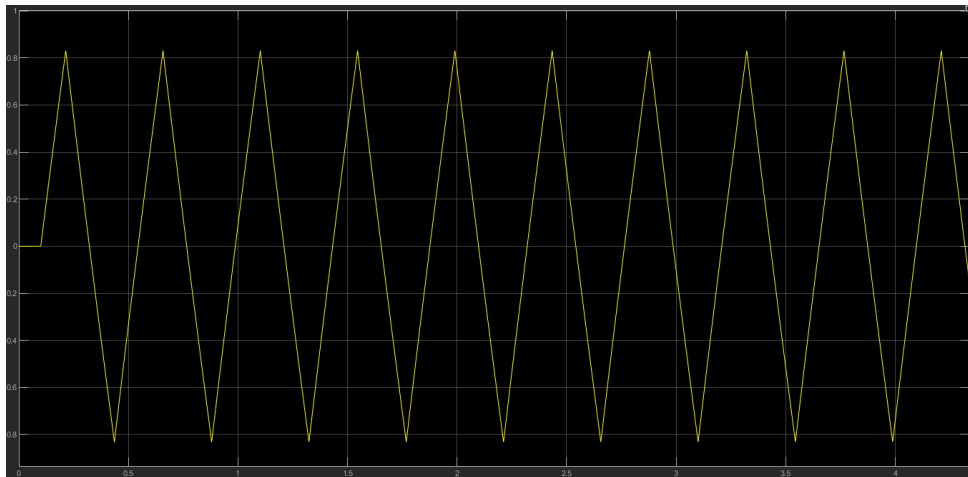


Figura 4: Resposta do sistema estudado a uma entrada impulso unitário

Ao observar a figura 4 pode-se notar que de fato o sistema é instável pois existe um ciclo-limite, e que este converge para um ponto de uma oscilação estável, ou seja, com frequência e amplitude constantes e formato aproximadamente senoidal.

Na figura 5 é apresentado qual é a amplitude mensurada do sinal de resposta ao impulso.

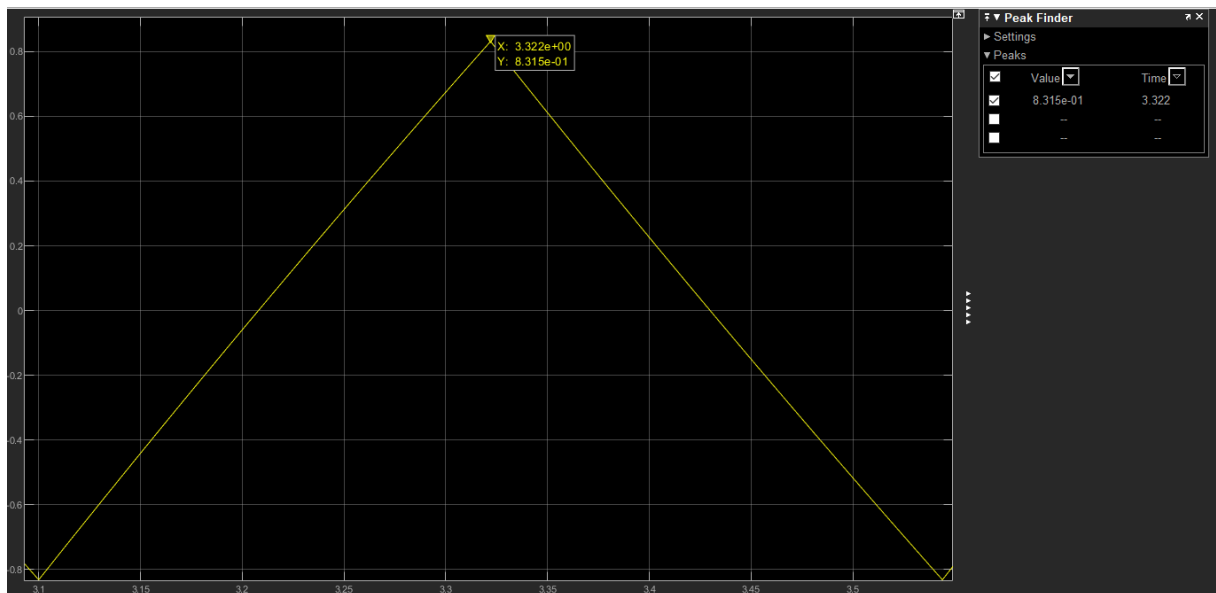


Figura 5: Medição da amplitude do ciclo-limite na resposta do sistema estudado para uma entrada impulso unitário

A figura 5 destaca o valor de amplitude do ciclo-limite de 0,8315.

Na figura 6 é apresentado qual é o período mensurado do ciclo-limite existente no sinal de resposta ao impulso.

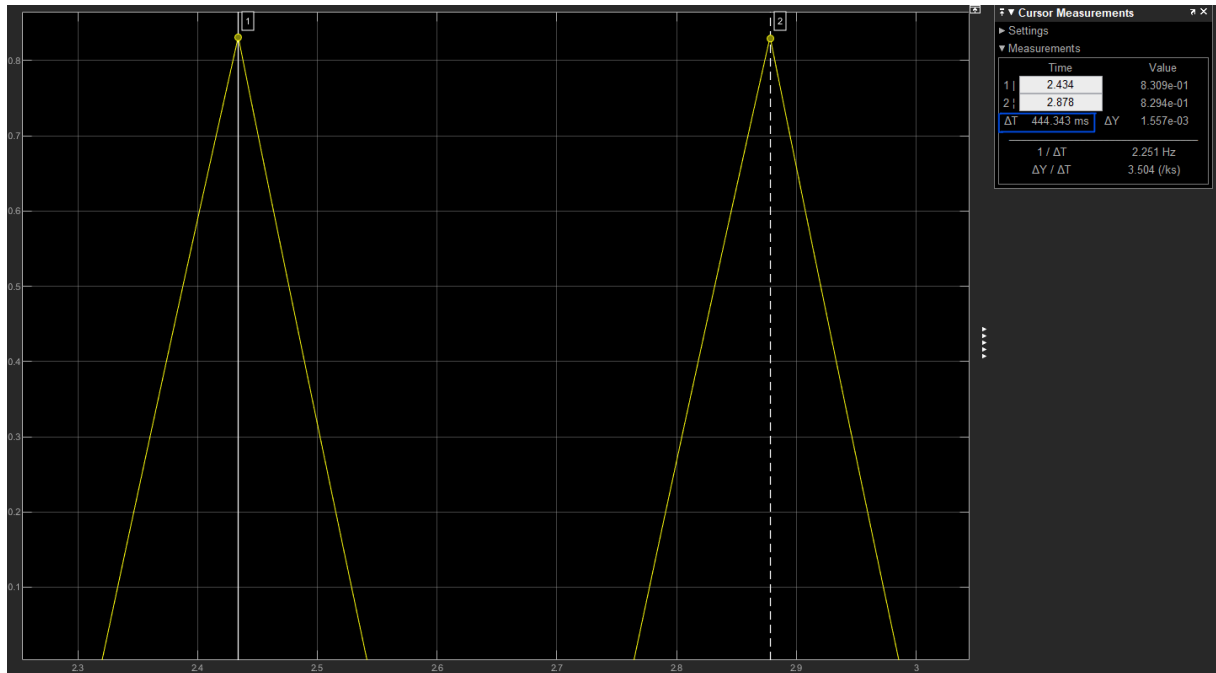


Figura 6: Medição do período de oscilação do ciclo-limite na resposta do sistema estudado para uma entrada impulso unitário

A figura 6 destaca em azul o valor do período de oscilação do ciclo limite de  $T = 444,343ms$ , e em 11, 11 e 12 é obtido a frequência em  $Hz$  respectiva a este período.

$$f = \frac{1}{T} \quad (10)$$

$$f = \frac{1}{444,343ms} \quad (11)$$

$$f = 2,2505Hz \quad (12)$$

**3. Determine a resposta do sistema para uma entrada do tipo degrau unitário. O sistema se estabiliza? Comente o resultado.**

Assim como na resposta ao impulso, para obter a resposta do sistema para uma entrada do tipo degrau unitário foi construído um diagrama de blocos, o qual é apresentado na figura 7, que modela o cenário proposto através do *software* Simulink.

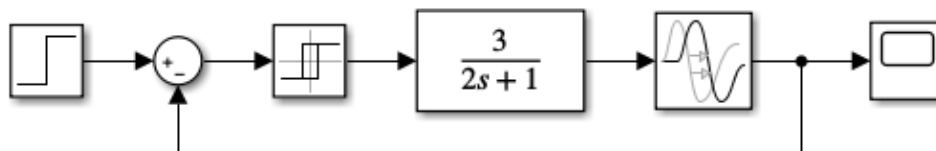


Figura 7: Diagrama de blocos para Simulação do sistema estudado a uma entrada degrau unitário

A resposta obtida através do diagrama apresentado na figura 7 é apresentada na figura 8.

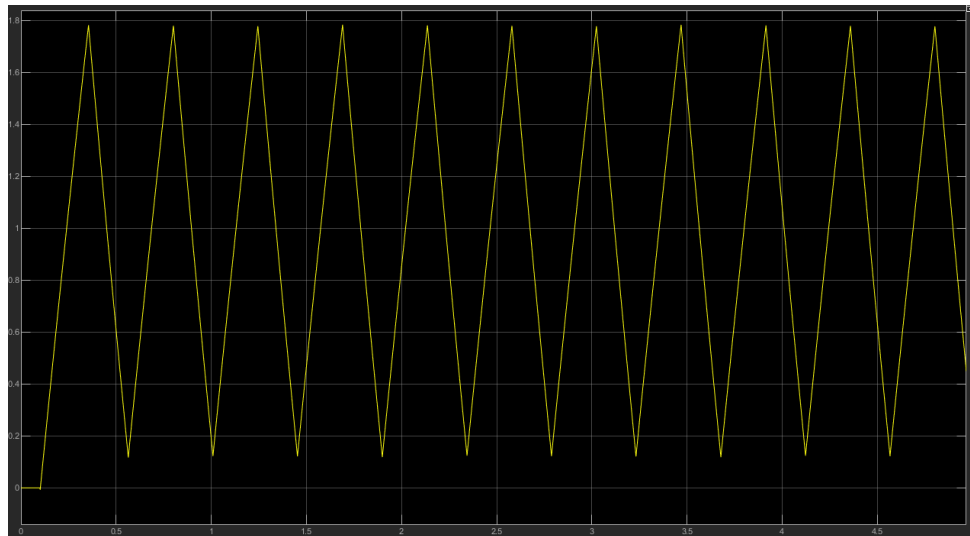


Figura 8: Resposta do sistema estudado a uma entrada degrau unitário

A partir da figura 8, observa-se, da mesma forma que na resposta ao impulso, que o sistema apresenta um ciclo limite e que este converge para um ponto de oscilação estável, ou seja, com frequência e amplitude constantes e forma de onda aproximadamente senoidal.

A figura 9 e a figura 10 detalham, respectivamente, as medições gráficas da amplitude e período de oscilação da forma de onda de saída.

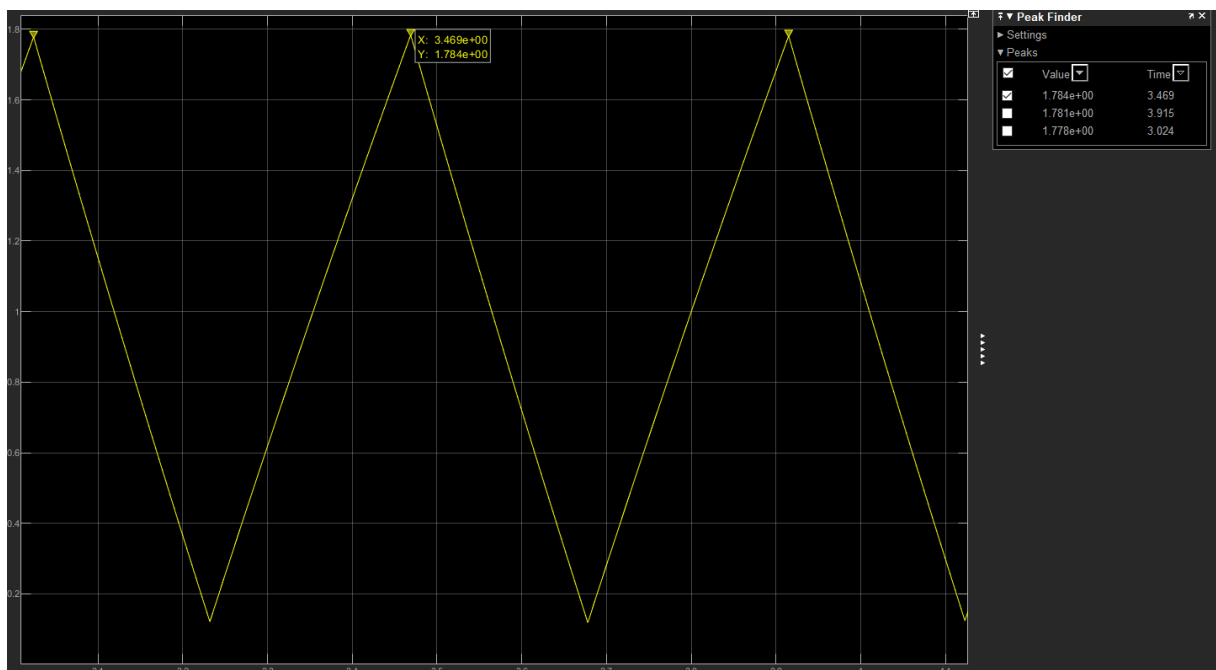


Figura 9: Medição da amplitude do ciclo-limite na resposta do sistema estudado para uma entrada degrau unitário



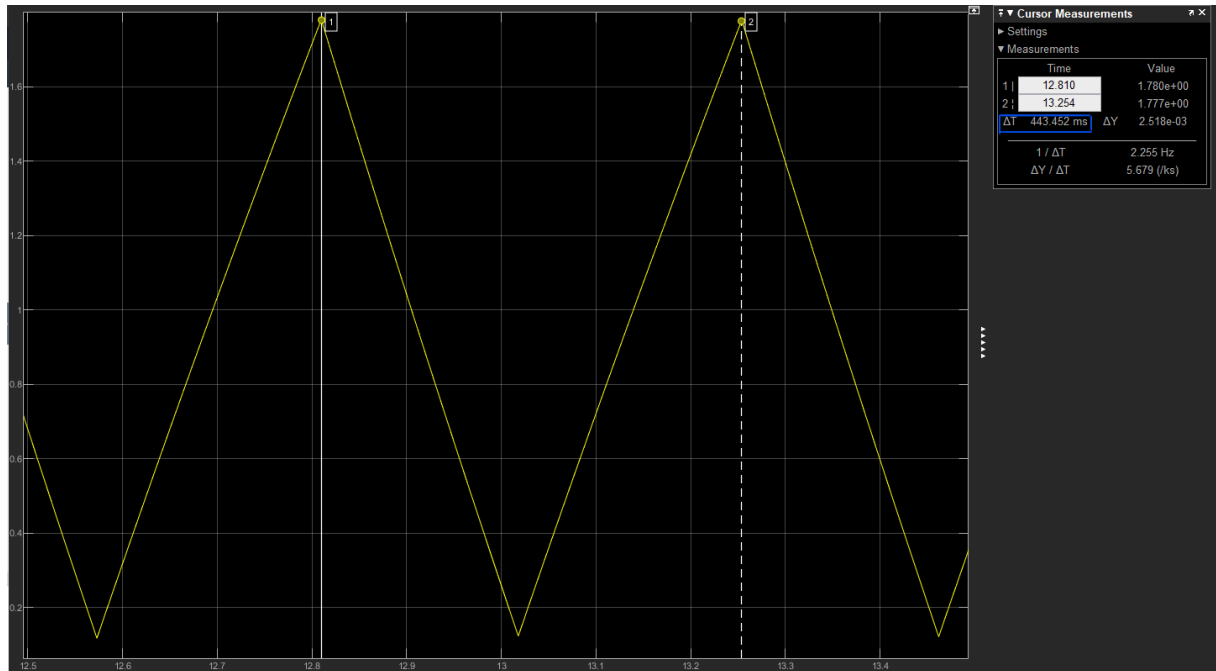


Figura 10: Medição do período de oscilação do ciclo-limite na resposta do sistema estudado para uma entrada degrau unitário

Analisando a medição da figura 9, obtém-se o valor de 0,832 para a amplitude de oscilação da forma de onda que possui um valor médio igual a 1 devido a entrada degrau. Da mesma forma, analisando a 10, obtém-se um período  $T = 443,450ms$  e, por consequência, uma frequência de  $f = 2,255Hz$ . Nota-se que os valores de amplitude e frequência obtidas nas respostas ao impulso e ao degrau são os mesmos (salvo com margem de erro mínima), a única diferença é que o sinal em resposta ao degrau está deslocado de 1 em sua amplitude devido a entrada degrau unitário.

### 3.1 Refazendo as simulações para $h = 0$

As simulações relatadas acima foram realizadas novamente nas mesmas condições, com exceção do valor da defasagem do sinal, que foi reduzido a  $h = 0$ . A resposta deste sistema a uma entrada do tipo impulso unitário é apresentada na figura 11.

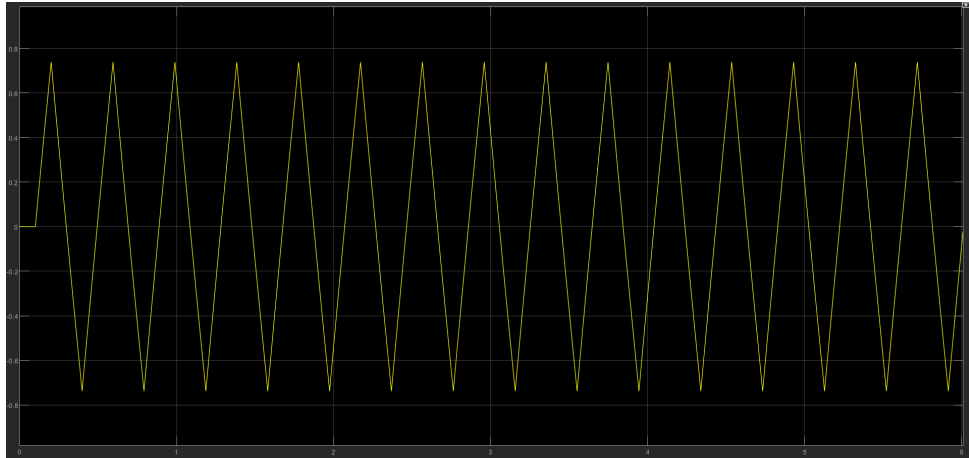


Figura 11: Resposta do sistema estudado a uma entrada impulso unitário para  $h = 0$

Analisando a figura 11 observa-se que o sistema apresenta um ciclo-limite estável, com amplitude e frequência constantes no tempo. As figuras 12 e 13 apresentam as medições da amplitude e do período, respectivamente, deste ciclo-limite.

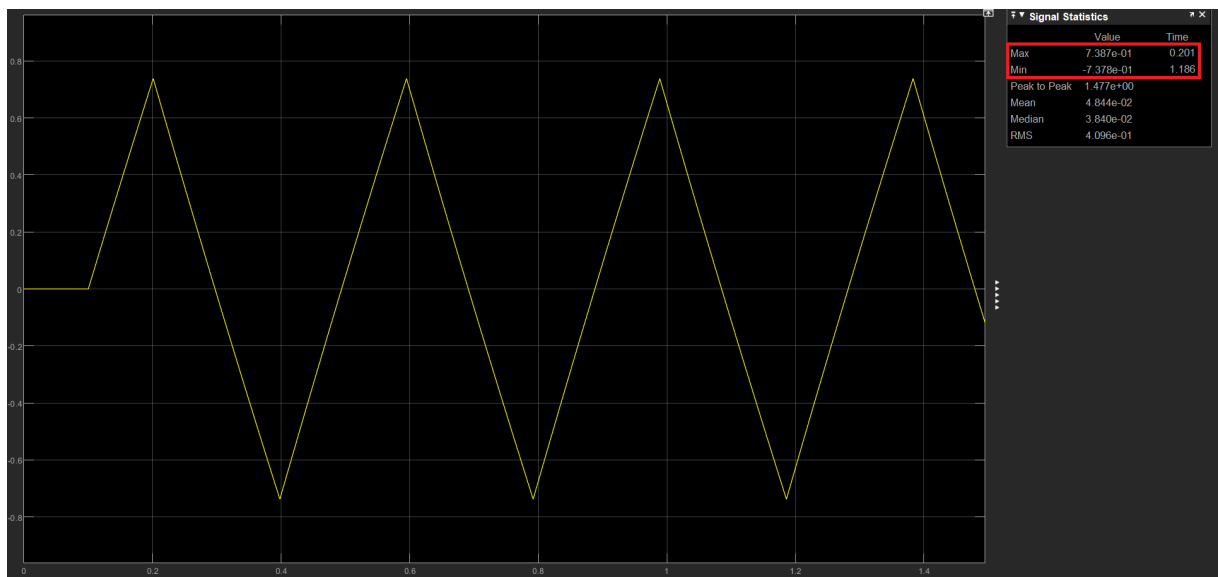


Figura 12: Medição da amplitude do ciclo limite na resposta do sistema estudado para uma entrada impulso unitário para  $h = 0$

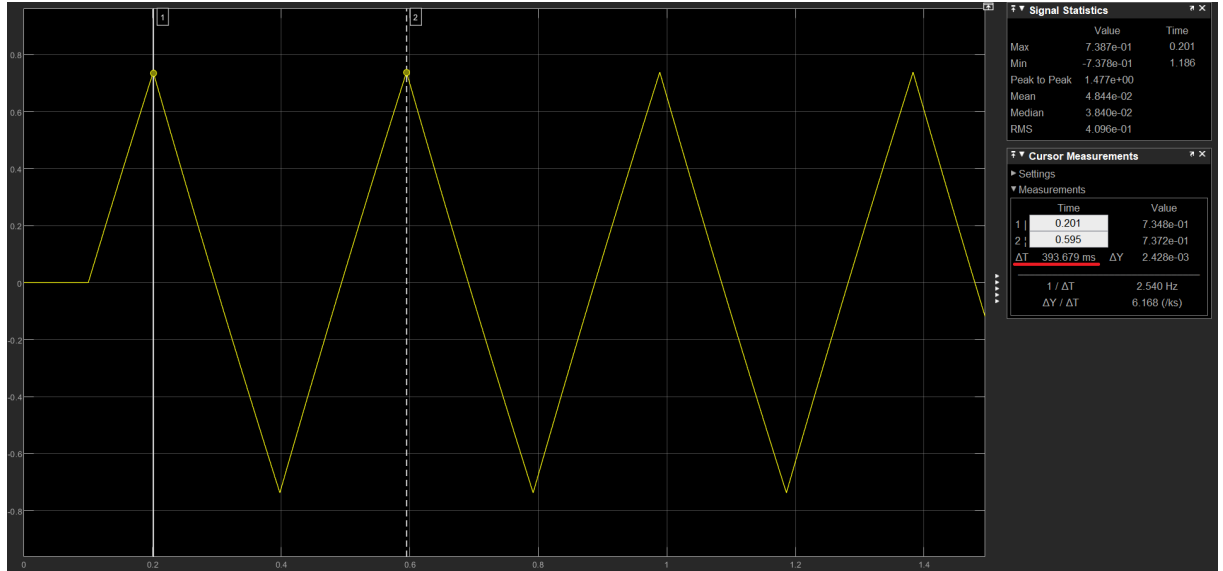


Figura 13: Medição do período do ciclo limite na resposta do sistema estudado para uma entrada impulso unitário para  $h = 0$

A partir da figura 12 e da 13, observa-se que a amplitude de oscilação do ciclo-limite é igual a 0,738, enquanto a frequência é de  $2,54\text{Hz}$ , calculada a partir da medição do período.

Continuando o experimento, a resposta deste sistema a uma entrada do tipo degrau unitário é apresentada na figura 14.

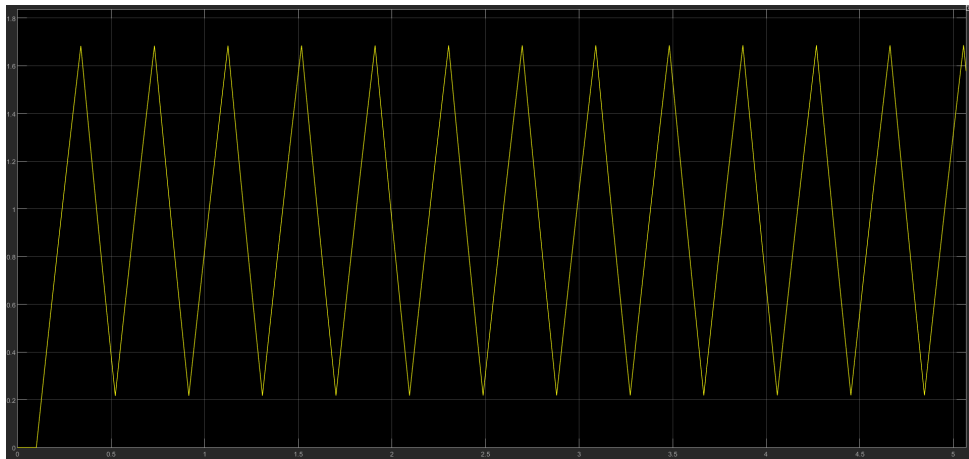


Figura 14: Resposta do sistema estudado a uma entrada degrau unitário para  $h = 0$

Da mesma forma que para uma entrada do tipo impulso unitário, para o degrau unitário o sistema também apresenta um ciclo-limite estável, com amplitude e frequência constantes. Novamente foram realizadas medições para estes parâmetros, que são apresentados, respectivamente, nas figuras 15 e 16.

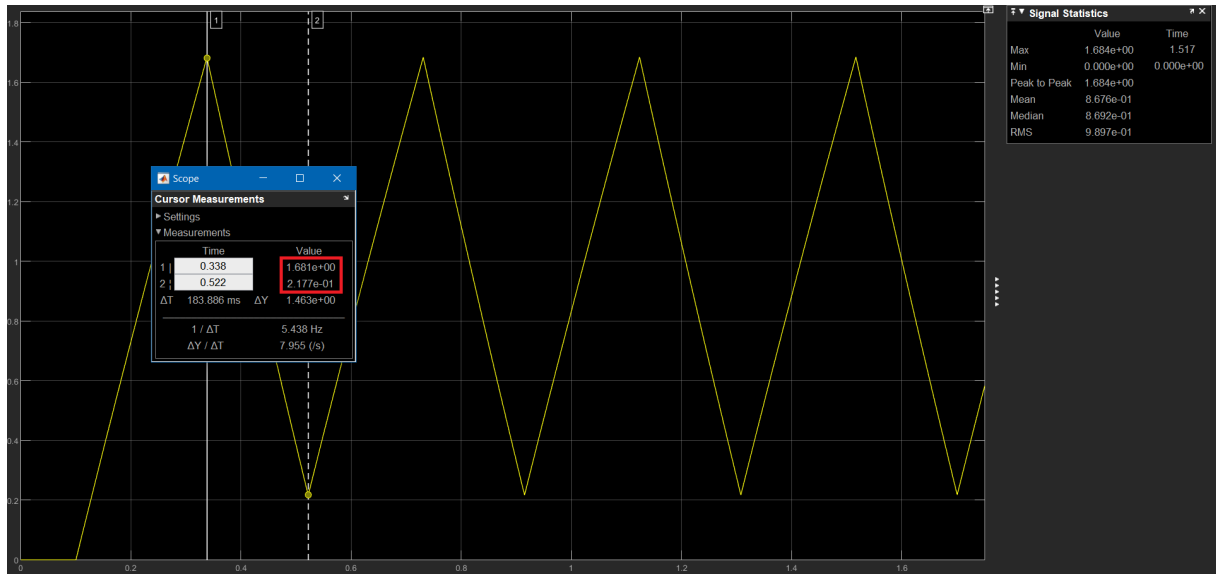


Figura 15: Medição da amplitude do ciclo limite na resposta do sistema estudado para uma entrada degrau unitário para  $h = 0$

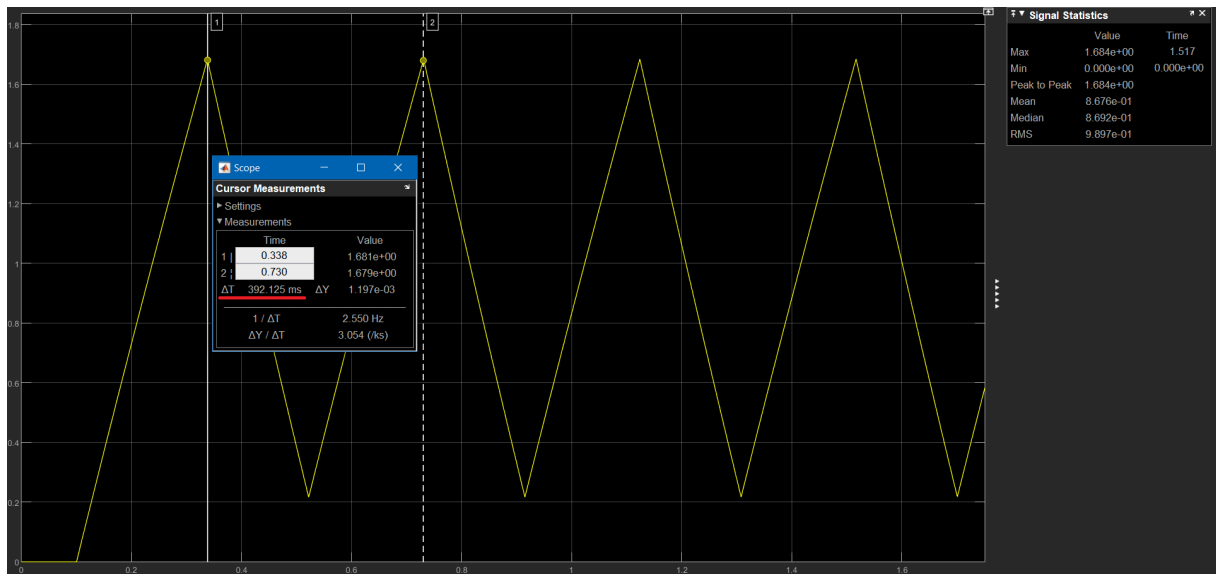


Figura 16: Medição do período do ciclo limite na resposta do sistema estudado para uma entrada degrau unitário para  $h = 0$

Como visto nas primeiras simulações relatadas, observa-se, a partir da figura 15, que a amplitude de oscilação do ciclo-limite se mantém, mesmo alterando o tipo de excitação do sistema, pois o valor obtido foi de 0,732, muito próximo ao apresentado na resposta ao impulso unitário. Porém, desta vez a forma de onda se encontra deslocada, apresentando valor médio igual a 1 (devido à entrada do tipo degrau unitário). A partir da figura 16 observa-se que a frequência, novamente calculada a partir da medição do período, é de  $2,55\text{Hz}$ , também apresentando valor muito próximo ao obtido na resposta ao impulso unitário.

Comparando os resultados obtidos nas simulações para  $h = 0,1$  e  $h = 0$ , observa-se que ambos apresentaram ciclos-limites estáveis. Porém, como as características do sistema

são diferentes (mais especificamente o valor de  $h$ ), isto se reflete nas características dos ciclos-limites, representadas pela amplitude e a frequência dos mesmos, que apresentam valores diferentes para valores diferentes de  $h$ .

## 4 Considerações Finais

A partir do estudo relatado foi possível verificar o comportamento de sistemas não-lineares quanto à sua estabilidade e a existência de ciclos limites. Mais especificamente, foi possível estudar um elemento do tipo "liga-desliga com histerese" e observar a relação entre as respostas ao impulso e ao degrau para um mesmo ciclo limite, comprovando que o ciclo limite mantém suas características fundamentais de amplitude e frequência, bem como estudar a variação destas características em função da variação das características do elemento não-linear (no caso o valor da defasagem  $h$  para o elemento estudado), sendo possível validar a teoria de análise de estabilidade de sistemas não-lineares.